

Ch₃, Ch₃t,-

Cl_3^+

Melton C. E., Ropp S. A., Rudolph P. S.
(1958)

Cl_3^-

J. Ch. Phys. 29, 54, 968

Mass-spectrum изотопов Cl и Br .

Конц. ионов Cl_3^+ и Cl_3^- Br_3^+ и Br_3^-

1966

a₃

Vibrational spectra of the Cl_3^- ion, and evidence of the existence of Cl_5^- . J. C. Evans and G. Y. S. Lo (Chem. Phys. Res. Lab., Dow Chem. Co., Midland, Mich.). *J. Chem. Phys.* 44 (9), 3638-9(1966)(Eng). Cl_3^- was prep'd. from the Et, *n*-Pr, and *n*-Bu compds. of tetraalkylammonium trichloride. Raman spectra were detd. for the yellow solids in the form of thin layers in glass cells, and their solns. in MeCN or benzene with 6328-A. excitation from a He-Ne laser. Ir spectra were detd., 35-600 cm^{-1} . In the solid phase spectra of the Pr compd., strong bands at 268 and 242 were assigned to Raman and ir spectra, resp. In soln., a strong ir band at 232 cm^{-1} was assigned to the antisym. stretching mode ν_3 , and a medium band at 281 to the sym. stretching mode ν_1 . The doubly degenerate-bend-

C.A. 1966.65.10
14652 de

ing mode ν_2 was estd. to be near 165 cm.^{-1} . A band near 93 cm.^{-1} was assigned to an interionic vibrational mode of ion aggregates. The spectra of Cl_3^- showed weak bonding with a large degree of interaction between bonds. Evidence of Cl_5^- was obtained from Raman spectra of MeCN solns. contg. molar ratios of $\text{Cl}_2/\text{Cl}^- > 1$. After the disappearance of Cl_3^- at a Cl_2/Cl^- ratio of 3, the Cl_2 band and a feature at 482 cm.^{-1} were prominent. The latter was assigned to Cl_5^- .

William T. Anderson, Jr.

Cl₃

vi
Cup. nos

BP-XI-1317

1967

44332t Infrared detection of the trichloride radical, Cl₃. Leonard Y. Nelson and George C. Pimentel (Univ. of California, Berkeley). *J. Chem. Phys.* 47(9), 3671-2(1967)(Eng). The ir spectra of Cl₃ with Kr as a diluent are reported and a series of bands near 374 cm.⁻¹ was observed. The spectrum is explained as the ν₃ fundamental of linear and slightly asym. ($C_{\infty v}$) Cl₃. The 2 principal force consts. were detd. as 1.309 and 1.214 millidynes/A.

CJJN

C.A. 1968. 68-10

1968

Cl₃

1314

374

ВРП

14 Б161. Определение радикала Cl_3 методом ИК-спектроскопии. Nelson Leonard Y., Pimentel George C. Infrared detection of the trichloride radical, Cl_3 . «J. Chem Phys.», 1967, 47, № 9, 3671—3672 (англ.)

Методом ИК-спектроскопии доказано существование радикала Cl_3 . Вывод о существовании Cl_3 сделан на основании изучения структуры полосы поглощения 374 см^{-1} в спектре р-ра Cl_2 в твердом Ar. Перед осаждением на охлаждаемую подложку из CsJ смесь Kr и обогащенного (33% Cl^{37}) Cl_2 пропускалась через разрядную трубку. Показано, что структуру полосы 374 см^{-1} нельзя объяснить, предполагая, что она связана с молекулами KrCl_n . Как число линий, так и расстояния между ними согласуются с предположением о том, что эта полоса связана с линейным радикалом Cl_3 . Отмечено, что это первый случай спектроскопич. обнаружения радикалов типа X_3 .

А. П. Коузов

X. 1968 · 14

БФ-ХI-1312

1867

Cl₃

6 Д393. Доказательство существования радикала Cl₃ методом ИК-спектроскопии. Nelson Leonard Y., Pimentel George C. Infrared detection of the trichloride radical, Cl₃. «J. Chem. Phys.», 1967, 47, № 9, 3671—3672 (англ.)

Методом ИК-спектроскопии доказано существование радикала Cl₃. Отмечено, что это первый случай спектро-

09. 1968 · 69

скопич. обнаружения радикалов типа X_3 . Вывод о существовании Cl_3 сделан на основании изучения структуры полосы поглощения 374 см^{-1} раствора хлора в твердом аргоне. Перед осаждением на охлаждаемую подложку из CsJ смесь криптона и обогащенного (33% ^{37}Cl) хлора пропускалась через разрядную трубку. Показано, что структуру полосы 374 см^{-1} нельзя объяснить, предполагая, что она связана с молекулами $KrCl_n$. Как число линий, так и расстояния между ними согласуются с предположением о том, что эта полоса связана с линейным радикалом Cl_3 .

А. П. Коузов

1871

Cl₃

50761p Analysis of dissolution curves for chlorine in hydrochloric acid solutions. Shimonis, I. V. (Vses. Zaochn. Politekh. Inst., Moscow, USSR). *Zh. Neorg. Khim.* 1971, 16(11), 2902-6 (Russ). The solv. of Cl in HCl solns. is given and the solv. curves are constructed for -4, 0, 10, 20, and 25°. A linear correlation exists between the log [Cl₃⁻] and log [Cl⁻] of the system at the above temps. The system forms only 1 complex anion, Cl₃⁻. The equil. consts. and the thermodynamic parameters of the reaction, Cl_{2(g)} + Cl⁻ ⇌ Cl₃⁻ are given.

K_CTep uog. 00
youC.A. 1972-76
10

1971

 Cl_3^-

17 Б62. Средне-квадратичные амплитуды колебаний ионов тригалогенидов. Unnikrishnan Nayag S., Aruldas G. Mean square amplitudes of vibration of trihalide ions. (Short communication). «Acta chim. Acad. sci. hung.», 1971, 67, № 1, 61—62 (англ.)

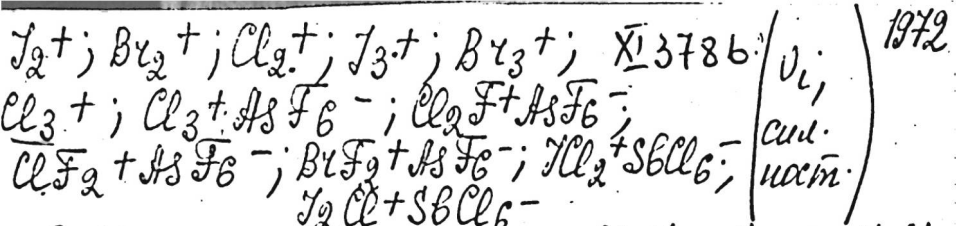
С использованием лит. значений частот нормальных колебаний вычислены силовые коэф. и средне-квадратичные амплитуды колебаний ионов $\text{Cl}_3^-(D_{\infty h})$, $\text{JBr}_2^-(\text{I})(D_{\infty h})$, $\text{BrJ}_2^-(\text{II})(C_s)$ и $\text{J}_3^-(\text{III})(C_s)$. Из рассмотрения вычисленных средне-квадратичных амплитуд колебаний сделан вывод, что II можно рассматривать состоящими из иона Br^- и молекулы J_2 , что находится в согласии с рентгенографич. данными. На основании рассмотрения вычисленных средне-квадратичных амплитуд колебаний обсужден характер переноса заряда с центрального на концевые атомы в I—III.

А. П. Александров

Х. 1971. 17

+/-


+3

Gillespie R.J., Morton M.J., Sowa J.M.,

Advan. Raman Spectrosc., 1972,
 1, 539-45 (anul.)

Raman spectra of halogen and
 interhalogen cations. 9

10



CA, 1973, 79, N^o 26, 151072

1973

Cl_3^+

Gillespie R.J.; et al.

"Adv. Raman. Spectrosc."

Vol I, Proc. 3rd Int.

Conf. Reims, 1972,"

London, e.a. 1973, 539-45



($\text{Cu I}_2^+; \text{III}$)

corr.

no cm.

Te

Cl₃⁺

1974

Andrews Lester

Allen Ralph O., et.al.

Di

"J. Chem. Phys" 1974, 61,
n5, 2156-2157 (air)

(all Cl³; III)

9P. 1975. N2

Cl. 3 ±.

1974,

Yapahu O.T. a.g.p.

Proc. Tert. Conf., Coord

Octave. 16th. 1974, 2.3a, 3pp.

(Kb. Mex
paeret
nr. cnykt.)

(all Actx⁺) III

ClF_2 ; Cl_3 (reac. eupyrm., paciem) 1974

Vasini E., Castro E., XI 4315

J. Mol. Struct., 1974, 22, N3, 415-419
(anell.)

The geometry of 21 valence
electron radicals.

CCl_3 , CCl_2 , CCl_3^+ , CCl_2^+ , Cl_4^+ , $\text{Cl}_2\text{CCl}_2^+$, Cl_3^- (d). 11,14
1975

Andrews L., Arzyboweski J.M.,
Allen R. O.

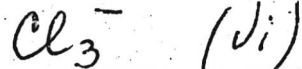
J. Phys. Chem., 1975, 79 (9), 904-12.

Infrared spectra of the molecular
ions and radicals produced by proton
radiolysis of carbon tetrachloride
in argon during condensation at 15°K.
C.A. 1975, 82 N 26-1784459.

50307.88452
Ch, Ph, TC, DB

40771

1975



#4-9697

Ault Bruce S., Andrews Lester.

Salt-molecule matrix reactions. Infrared spectra of the M^+HCl_2^- and M^+Cl_3^- ion pairs in solid argon.

"J. Amer. Chem. Soc.", 1975, 97, N 13,
3324-3326

0428 пик.

(англ.)

395 397

420

ВИНИТИ

F_2^- , Cl_2^- , Cl_3^- (for. encrips) 1976.

MF_2^- , MCl_2^- (encrips & manup.)

M - WELCH. REMARKS.

Andrews L., X-9752

J. Amer. Chem. Soc., 1976, 98 (8),
2147-52.

Optical spectra of the difluo-
ride, dichloride and trichloride ions
in the matrix - isolated...
C.A. 1976. 84 N 24. 1717958. 140. (D)

1976

Cl₃

85: 101557x Infrared and Raman spectra of the $M^+Cl_3^-$ ion pairs and their chlorine-bromine counterparts isolated in argon matrixes. Ault, Bruce S.; Andrews, Lester (Dep. Chem., Univ. Virginia, Charlottesville, Va.). *J. Chem. Phys.* 1976, 64(12), 4853-9 (Eng). The Ar matrix reactions of alkali chloride salts with Cl₂ were investigated through ir and Raman spectra. In each ir expt., an intense product band was obsd. between 327 and 375 cm⁻¹ and assigned to the antisymmetric stretching vibration ν_3 of the Cl₃⁻ anion in the ion pair M⁺Cl₃⁻. Raman spectra of these reaction mixts. yielded the same ν_3 bands and, in addn., new signals between 253 and 276 cm⁻¹ which are assigned to the symmetric stretching vibration ν_1 of Cl₃⁻ in the M⁺Cl₃⁻

species. The observation of 2 stretching modes in the Raman spectra indicates that the Cl₃⁻ ions are asymmetric in these ion pairs. Bromine counterparts and the mixed chlorine-bromine anions were also formed, and used to verify that the anion in the M⁺X₃⁻ species contains 3 halogen atoms, with the metal ion beside the anion in an asymmetric T shaped structure.

*v₁, v₃,
Cl₃⁻,
mixed
species*

C.A. 1976

85 n14

Cl₃

X-45 - 15781

1976

85: 198607z An ab initio energy surface for the trichloride ion, Cl₃⁻. A comparison of CNDO and ab initio results for a model trihalide ion. Riedel, E. F.; Willett, Roger D. (Chem. Phys. Program, Washington State Univ., Pullman, Wash.). *Theor. Chim. Acta* 1976, 42(3), 237-46 (Eng). A potential energy surface for the Cl₃⁻ was calcd. via an ab initio SCF MO method. The significant feature of the surface is the existence of a single min., indicating the isolated Cl₃⁻ ion exists in a sym. (D_{3h}) configuration. The calcd. Cl-Cl bond length is 0.26 Å longer than the Cl-Cl bond length calcd. for the Cl₂ mol. The calcd. charge distribution is in excellent agreement with that deduced from NQR data. Std. CNDO calcns. gave a very poor description of the bonding in the trichloride ion. However, by reparameterizing β to give the correct bond distance for the Cl₂ and excluding d orbitals, excellent agreement between the CNDO and ab initio results was obtained.

*Kb. recd.
facsimile*

B70-15781

C.A. 1976. 85 N26

745-15481

1976

Cl₃⁻

Cl₂⁻

Cl⁻

(4, 17; 20)

7 Б22. Неэмпирическая поверхность энергии для трихлорид иона Cl₃⁻. Сравнение неэмпирических данных и результатов ППДП для модельного тригалогенидного иона. Riedel E. F., Willett Roger D. An ab initio energy surface for the trichloride ion, Cl₃⁻. A comparison of CNDO and ab initio results for a model trihalide ion. «Theor. chim. acta», 1976, 42, № 3, 237-246 (англ.)

Методом Хартри—Фока—Рутана проведены расчеты поверхности потенциальной энергии линейного иона Cl₃⁻, а также молекулы Cl₂ и иона Cl⁻. Использован канонич. набор сгруппированных гауссовых функций s- и p-типа, описанный Клементи. На поверхности энергии обнаружен единственный минимум, соотв-щий конфигурации симметрии D_{∞h} с межъядерным расстоянием между соседними атомами на 0,26 Å большим, чем в

+2 18



x.1977 N7

БВ-Х-517

молекуле Cl_2 . Оценка энергии связи по отношению к системе $\text{Cl}_2 + \text{Cl}^-$ привела к значению 32,6 ккал/моль. Найденные значения распределения заряда хорошо согласуются с данными ЯКР. Для сравнения проведены также вычисления в рамках станд. процедуры ППДП. Полученные значения межъядерных расстояний, энергии связи силовых постоянных вал. кол. и распределения заряда совершенно не согласуются с данными неэмпирич. расчета. Достаточно хорошего соответствия (кроме величины силовой постоянной) удалось добиться за счет исключения d -орбиталей и дополнительного варьирования параметра $\beta_{\text{ав}}^0$.

А.

Гухин

4 Д137. Неэмпирический расчет потенциальной поверхности иона Cl_3^- . Сравнение результатов неэмпирических расчетов и расчетов в приближении ППДП для модельного тригалогенид-иона. Riedel E. F., Willett Roger D. An ab initio energy surface for the tri-chloride ion, Cl_3^- . A comparison of CNDO and ab initio results for a model trihalide ion. «Theor. chim. acta», 1976, 42, № 3, 237—246 (англ.)

В рамках метода МО ЛКАО проведены неэмпирические расчеты отдельных участков потенциальной поверхности иона Cl_3^- . В качестве базисных ф-ций были использованы сжатые гауссовые орбитали. Анализ результатов расчета позволяет сделать вывод, что на потенциальной поверхности существует единственный минимум, соответствующий линейной конфигурации иона Cl_3^- . Длина связи $\text{Cl}-\text{Cl}$ в Cl_3^- на 0,26 Å больше, чем в молекуле Cl_2 . Распределение электронной плотности находится в согласии с эксперим. данными. Отмечается, что расчеты иона Cl_3^- методом ППДП с использованием стандартной параметризации Попла приводят к плохим результатам. Однако если параметр $\beta_{\text{Cl}-\text{Cl}}$ выбрать из условия, чтобы в молекуле Cl_2 воспроизводилась эксперим. длина связи $\text{Cl}-\text{Cl}$, то результаты расчета по методу ППДП с полученным таким образом значением $\beta_{\text{Cl}-\text{Cl}}$ находятся в хорошем согласии с результатами неэмпирических расчетов.

А. И. Панин

Cl_3^-

кв. расчет

4.11.

ф. 1977
N 4

1976

445-15.481

Cl₃-

(OTRACAS 5423)

1977

paper

reorder

Faszanier M.

Kochanski E.

J. Amer. Chem. Soc.

1977, 99 n14, 4624-28

Cl_3^-

Br_3^-

J_3^-

$\ell, \delta, \rho, \epsilon$
крив. потенц
энергии

(+2) \otimes

Nos. - 18395

1974

11 Д 175. Расчет электронных состояний анионов трехатомных галогенов. Tasker P. W. A calculation of the electronic states of the trihalide anions. «Mol. Phys.», 1977, 33, № 2, 511—518 (англ.)

В приближении валентной связи с учетом остовых электронов по методу псевдопотенциала проведен расчет электронных свойств и построены кривые потенц. энергии основных состояний анионов Cl_3^- , Br_3^- , J_3^- . Вычисленные величины длии связей, энергий диссоциации, колебательных частот и энергий перехода на нижнее возбужденное состояние удовлетворительно согласуются с эксперим. данными. Представлены также результаты вычислений кривой потенц. энергии, описывающей взаимодействие аниона X^- с молекулярным ионом X_2^- .

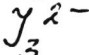
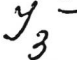
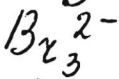
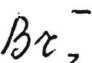
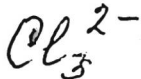
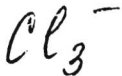
А. Обухов

Ф. 1974 № 11

(+2)

XU - 18395

1977



последний

дек. 1977 № 22

22 Б45. Расчет электронного строения анионов тригалогенидов. Tasker P. W. A calculation of the electronic states of the trihalide anions. «Mol. Phys.», 1977, 33, № 2, 511—518 (англ.)

В рамках метода ВС в валентном приближении рассчитано электронное строение одно- и двухзарядных отриц. ионов тригалогенидов: X_3^- и X_3^{2-} , где $\text{X}=\text{Cl}$, Br и I . Взаимодействие оставшихся и валентных электронов учтено методом псевдопотенциала. В расчетах использована та же расчетная методика, что и в проведенных ранее расчетах (Molec. Phys., 1976, 32, 1651) анионов X_2^- . С целью проверки исходного базиса определены равновесные длины связи и энергия диссоциации в молекулах X_2 . Показано, что рассчитанные длины связи превышают на 10—15% опытные значения, а энергия диссоциации завышена более чем вдвое. Вычисленные равновесные длины связей в X_3^- соответствуют симм. конфигурации ядер и равны среднему значению длин связей в X_2 и X_2^- , т. е. сумме ионного и ковалентного радиусов. Правильные продукты диссоциации (X^- и

+2

X_2) получены только для потенциала несимм. конфигурации. Опытные оценки по энергии диссоциации воспроизведены с точностью до ~ 1 эв. Отмечено, что полная энергия связи в ряду X_3^- , так же как и в рядах X_2 и X_2^- , падает от Cl к J. Оценена энталпия р-ции X_2 (г.) + X^- (г.) = X_3^- (г.), а также теплота образования X_3^- . На основании вычисленных значений энергий переходов и колебательных частот интерпретированы оптические спектры поглощения. Изучен потенциал взаимодействия X^- и X_2^- . Показано, что анионы X_3^{2-} являются нестабильными и их можно рассматривать как переходное состояние при миграции V_h -центров (X_2^-) в кристаллах галогенидов щел. и щел.-зем. элементов.

С. Долин

1978

PL3

Ungemach S.R.

From Energy Res Abstr. 1978,
3(9), Abstr No 21944

Reflex
process

(See PLF₂; III)

Cl_3^-

1979

Lee Y.C. et al.

J. Chem. Phys., 1979, 70,
N^o 4, 3237-46.
monoglyceres.



coll. $\text{Cl}_3^- - \bar{\nu}$

Cl_3^-

Финиси 7776

1979

$(A\bar{e})$

71 SO_2Cl_3^-
(dHF)

2.1979, N15

15 Б772. Образование иона Cl_3^- в газовой фазе.
Robbiani Richard, Franklin J. L. Formation of
the trihalide ion Cl_3^- in the gas phase. «J. Amer. Chem.
Soc.», 1979, 101, № 3, 764—765 (англ.).

Методом масс-спектроскопии изучены ион-молекулы в сульфурилхлориде в присутствии хлористого водорода. Для расчетов использованы литературные значения теплот образования SO_2Cl_2 , SO_2 , HCl , COCl_2 , CO , Cl_3^- , а также анионов Cl^- , Cl_2^- и HCl_2^- . Установлены нижний и верхний пределы теплот образования иона Cl_3^- (по реакции $\text{Cl}^- + \text{SO}_2\text{Cl}_2 \rightarrow \text{Cl}_3^- + \text{SO}_2$), составляющие —72,7 и —82,8 ккал/моль соотв. Кроме того, рассчитаны верхний (—143,6 ккал/моль) и нижний (—153,7 ккал/моль) пределы теплот образования иона SO_2Cl^- (по реакции $\text{Cl}^- + \text{SO}_2\text{Cl}_2 \rightarrow \text{SO}_2\text{Cl}^- + \text{Cl}_2$), а также верхние пределы теплот образования анионов SO_2Cl_3^- и $\text{S}_2\text{O}_4\text{Cl}^-$ в реакции ионов SO_2Cl^- с SO_2Cl_2 , составляющие —156,4 и —228,4 ккал/моль соотв. Установлено, что средство к электрону молекулы $\text{Cl}_3 > 4,3$ эВ.

В. Винц

Cl₃

Lommel 11830

1981.

de B.R., Sammigraphist.

fabuleez.
zeoietas

cur. noet.

nomenez.

kruboz

ICB. sect.
pacif

Zit. J. Quant. Chem.

1981, 19, 485 - 88.

● (all. Clf2; III)

Omnuck 13979

1982



KOH - monoton.
peakshift

Babcock L.M., Streitf.
- E.

J. Chem. Phys., 1982,
76, N 5, 2407 - 2411.

Cl₃

Ommuck 14849

1982

Castro E.A., Vasini E.,

periorum
coryzae

Int. J. Quantum,

Chem., 1982, 22, N^o 2,

433-434.

Cl₃

Ommeck 14851

1982

De B.R., Sannigrahi A.B.,

ЖЕКТОН.

Спиркулья, Int. J. Quantum. Chem.,

радиолек.

изомерии

1982, 22, № 2, 345-440.

Cl_3^-

1983

10 Д253. Динамика реакций ассоциации и распада.
Модельное исследование реакции $\text{Cl}^- + \text{Cl}_2 \rightleftharpoons \text{Cl}_3^-$ методом квазиклассических траекторий. Dynamics of association and decay. A model study of $\text{Cl}^- + \text{Cl}_2 \rightleftharpoons \text{Cl}_3^-$ using quasiclassical trajectories. Babcock Lucia M., Thompson Donald L. «J. Chem. Phys.», 1983, 78, № 5, 2394—2401 (англ.)

Методом квазиклассич. траекторий исследована динамика реакций ассоциации и распада $\text{Cl}^- + \text{Cl}_2 \rightleftharpoons \text{Cl}_3^-$. Использовалась модельная поверхность потенц. энергии,

90. 1983, 18, N 10

составленная из парных потенциалов, причем морзеевская ф-ция фрагмента Cl_2^- выбиралась так, чтобы получалось значение 1,06 эВ для энергии диссоциации Cl_3^- на $\text{Cl}^- + \text{Cl}_2$. Рассчитаны полные сечения образования комплексов Cl_3^- и зависимость их от времени жизни Cl_3^- , а также константы скорости диссоциации Cl_3^- . Обнаружена экспоненц. зависимость сечений комплексообразования от времени жизни комплексов и энергии относит. движения. Усреднением по скоростям получены константы скорости, которые оказались меньшими ланжевеновского значения. Константа скорости распада определялась как наклон $\ln \frac{N(t)}{N_0}$ (где $N(t)$ — число траекторий с временем жизни t , N_0 — полное число траекторий) в зависимости от времени жизни. Исследована зависимость констант скорости распада от относит. энергии и прицельного параметра. Найдено, что распределение по временам распада является случайным.

А. А. Зембеков

Cl_3^+

[OM 21862]

1983

Bhattacharjee S., Sannigraki A.B., et al.,

Радиоген.

200 циклов из
основного
состава,
импульса

Indian J. Chem., 1983,
A 22, N 12, 1001-1006.

Cl_3^-

[Om. 21862]

1983

Равновесн.
заряженность
основного
составника,
структура

Bhattacharjee S., Sannigrathi A. B., et al.,
Indian J. Chem., 1983,
A 22, N P2, 1001-1006.

Cl₃

(DM. 21862)

1983

Bhattacharjee S., Sannigrahi A.B., et al.,

Радживеш.
Ловренчук
Олег Мирко
Соцмосмус,
Андрей Кимура

Indian J. Chem., 1983,
A 22, N 12, 1001-1006.

от 17790 1983

Cl_3^+

3 Л231. Спектры комбинационного рассеяния Cl_3^+ и Br_3^+ при температуре 12 К, образованные при реакции HCl или HBr с NO₂. Raman spectra of Cl_3^+ and Br_3^+ at 12 K produced from the reaction of HCl or HBr with NO₂. Chen L.-H., Noug E. M., Laane J. «J. Raman Spectrosc.», 1983, 14, № 4, 232—235 (англ.)

Получены спектры комб. рас. (100—2000 см⁻¹) ионов Cl_3^+ (I) и Br_3^+ (II), образованных в ходе реакции молекул HCl и HBr с NO₂, осажденных из газовой фазы на твердую подложку при т-ре 12 К, и возбуждении рассеяния лазерными линиями 457,9; 488,0 и 514,5 нм. Установлено, что реакция между HCl и NO₂ приводит к образованию I и 8-и других соединений, тогда как ионы II являются единственным продуктом реакции молекул HBr и NO₂ при низкой т-ре. Идентифицированы частоты фундаментальных колебаний и обертонаов I и II. В рамках модели гармонич. осциллятора проведен расчет силовых постоянных связей I и II. Показано, что прочность связей в I и II меньше прочности связей в 2-х атомных молекулах Cl₂ и Br₂ соответственно. Предположено, что дублетная структура ряда

спектр №

№ 18

сф. 1984, 18, № 3

линий комб. рас. I и II обусловлена влиянием кристаллич. поля в твердых пленках, содержащих эти ионы.
И. В. А.

Ra
ег

Cl_3^+

On. 17790

1983

99: 184221w Raman spectra of triatomic chlorine(1+) and triatomic bromine(1+) at 12 K produced from the reaction of hydrogen chloride or hydrogen bromide with nitrogen dioxide. Chen, L. H.; Nour, E. M.; Laane, J. (Dep. Chem., Texas A and M Univ., College Station, TX 77843 USA). *J. Raman Spectrosc.* 1983, 14(4), 232-5 (Eng). The products of the reactions of HCl or HBr with NO₂ at 12 K were examd. by Raman spectroscopy. For the NO₂ + HCl reaction, spectroscopic evidence for Cl₃⁺, asym-N₂O₂, N₂O₃, N₂O₄, ClNO₂, ClNO₃, NO₃⁻, NO₂⁻, and sym-N₂O₂ was found. For the reaction with HBr, only Br₃⁺ was detected due to resonance Raman enhancement effects. These results are consistent with the previously proposed gaa-phase reaction scheme for HCl + NO₂. However, the reaction proceeds further at low temp. to produce Cl₃⁺ (or Br₃⁺). The Raman frequencies for Cl₃⁺ were obsd. at 515(ν_3), 462(ν_1), and 236 cm⁻¹(ν_2). The Br₃⁺ resonance Raman spectra, which represent the 1st well documented spectra for this species, show strong fundamental bands at 281(ν_1) and 227 and 238 cm⁻¹ (doublet for ν_2) as well as an overtone doublet at 471 and 487 cm⁻¹.

④ 17

Br_3^+

C.A. 1983, 99, N 22

Cl_3

1983

Koshe M., Ito H.,
Matsue H.

romens.
robexH.,
mesop.
pacrin

Chem. Phys. Lett.
1983, 103 (3), 180-6.

( cer. F_3 ; iii)

Cl_3^-

1984

Bhattacharjee S.,
Sannigraki A. B.

meop. Indian J. Chem., Sect. A
paerim 1984, 23A (4), 285-91.

(Cet. F_3^- ; III)

Cl_3^-

1984

Bowmaker Graham A.,
Boyd Peter D. W., et al.

neopent. J. Chem. Soc., Faraday
pracrin. Trans. 2 1984, 80(9),
1125-43.

(C₆₀ Y_3^- ; $\overline{\text{II}}$)

Cl_3^-

[DM-20617]

1984

згено-
кврноз-
ное
бзано-
мепем-
пакем.

Bowmaker G.A., Boyd D.W.,
et al.,

J. Chem. Soc. Faraday
Trans. 2, 1984, 80,
1125-1143.

$\text{Cl} + \text{Cl}_2$

от 1966 г. 1984

24 Б1095. Топография поверхностей потенциальной энергии. Поверхность для $\text{Cl} + \text{Cl}_2$, вычисленная методом ДФМ (двуатомных фрагментов в молекулах). Topography of potential-energy surfaces. DIM (Diatomics-in-molecules) Surface for $\text{Cl} + \text{Cl}_2$. Duggan John J., Grice Roger. «J. Chem. Soc. Faraday Trans.», 1984, PT 2, 80, № 7, 809—816 (англ.)

Методом двухатомных фрагментов в молекулах (ДФМ) рассчитаны Пв потенциальной энергии состояний $^2A'$ и $^2A''$ для системы $\text{Cl} + \text{Cl}_2$. Использован такой же набор многоатомных базисных функций, как и для $\text{F} + \text{F}_2$ (см. пред. реферат). Так же, как и для фтора, найдено, что седловой точке поверхности низшего состояния симметрии $^2A'$ отвечает нелинейная конфигурация ядер (с углом отклонения от линейности около 35°), а состояния $^2A''$ — линейная конфигурация (с симметрией волновой функции $^2\Pi_u$). Высота потенциального барьера для состояния $^2A'$ равна 28 кДж/моль, для состояния $^2A''$ — 75 кДж/моль. Результаты приближения ДФМ согласуются с предсказаниями по правилам Уолша.

А. В. Немухин

расчет
структур,

но

Х, 1984, 19, № 24

$\text{Cl} + \text{Cl}_2$

2m. 1966—1984

12 Д267. Топография поверхностей потенциальной энергии. МДФ поверхности для $\text{Cl} + \text{Cl}_2$. Topography of potential-energy surfaces. DIM (diatomics-in-molecules) Surface for $\text{Cl} + \text{Cl}_2$. Duggan John J., Grice Roger. «J. Chem. Soc. Faraday Trans.», 1984, PT2, 80, № 7, 809—816 (англ.)

Методом двухатомных фрагментов (МДФ) рассчитаны потенциальные поверхности системы $\text{Cl} + \text{Cl}_2$. Методика расчета описана в предыдущей публикации (см. реф. 12Д266). Потенциальная поверхность ${}^2\text{A}'$ имеет барьер 28 кДж/моль при симметричной конфигурации ядер. Аналогичный вид имеет поверхность состояния ${}^2\text{A}''$, но с большим значением барьера (75 кДж/моль). Рассчитаны также энергии активации и геометрия переходных состояний $\text{Cl} + \text{Cl}_2$. Полученные результаты сравнены с данными расчетов для системы $\text{F} + \text{F}_2$. А. И. Дементьев

комптр.
структур,
ко, потенц.
перех.

Ф 1984, 18, N 12.

Cl_3^{\pm}

1984

Shattacharjee S,
Sannigrani A.B.

200 empus,
empykmpr Indian J. Chem., 1984,
23, N4, 285-291.

• (cet. F^{\pm} ; III)

Cl₃

1986

105: 140034a Ab initio SCF and CI study of the electronic structure of the trichlorine radical. Sannigrahi, A. B.; Peyerimhoff, Sigrid D. (Dep. Chem., Indian Inst. Technol., Kharagpur, 721302 India). *Int. J. Quantum Chem.* 1986, 30(3), 413-20 (Eng). Ab-initio SCF and CI calcns., with a double-zeta plus polarization basis set, were done on Cl₃ to det. its electronic structure. The min. energy was detd. for a bent structure with a bond angle of 146° and bond lengths of 2.18 Å (SCF) or 2.22 Å (CI). For the linear geometry, a $^2\Pi_u$ state was the lowest, approx. 7 kcal above the bent min., followed by a $^2\Sigma_g^+$ state, which was around 4 kcal higher. This suggested that, for low quantum nos., a complex vibrational pattern in the Cl₃ IR spectrum is to be expected due to spin-orbit coupling, and coupling of the electronic, vibrational, and rotational motions.

ab initio
nacrem, emyka,
strepem uka, Di

C.A. 1986, 105, N 16

Cl_3^-

(№ 28171)

1987

№ 10 Б1034. Неэмпирическое исследование методом КВ электронной структуры и спектров трихлорид-иона. An ab initio CJ study of the electronic structure and spectrum of the trichloride ion. Sannigrahi A. B., Peyerimhoff S. D. «Chem. Phys. Lett.», 1987, 141, № 1—2, 49—52 (англ.)

Методом КВ с учетом одно и двукратных возбуждений относительно нескольких исходных конфигураций рассчитана равновесная геометрия основного состояния иона Cl_3^- , а также вертикальные энергии возбуждения, силы осцилляторов и времена жизни возбужденных состояний. Использован базис $(2s8p/6s4p)$, дополненный поляризацией d -ф-циями и диффузными p -ф-циями. В базис также включены p -ф-ции, центрированные на середине каждой связи $\text{Cl}-\text{Cl}$. Рассмотрена только центросимм. конформация иона. Равновесное значение длины связи $\text{Cl}-\text{Cl}$ найдено равным 2,34 Å. Н. В. Харчевникова

III. 11.

X. 1988, 19, N 10

Cl_3^-

(Om. 28171)

1987

№ 6 Д103. Неэмпирическое КВ изучение электронной
структуре и спектра иона трихлорида. An ab initio CI
study of the electronic structure and spectrum of the
trichloride ion. Sannigrahi A. B., Peyerimhoff S. D.
«Chem. Phys. Lett.», 1987, 141, № 1—2, 49—52 (англ.)

(ε_i)

φ. 1988, 18, N6

Cl_3^-

(M-28171)

1987

108: 45960c An ab initio CI study of the electronic structure and spectrum of the trichloride ion. Sannigrahi, A. B.; Peyerimhoff, S. D. (Dep. Chem., Indian Inst. Technol., Khagapur, 721302 India). *Chem. Phys. Lett.* 1987, 141(1-2), 49-52 (Eng). The equil. geometry of the ground state ($X^1\Sigma_g$), vertical excitation energies, and assocd. oscillator strengths or lifetimes were caled. for Cl_3^- by the ab initio MRD CI method using a double-zeta plus polarization basis set. The caled. transition energies agree with expt.

ab initio
pacem, 2e,
 $X^1\Sigma_g$, 9, sum

C.A. 1988, 108, N6

Cl_3^-

(OM. 30931)

1988

Burdett J. K., Marsden C. J.,
ab initio
pacem

New. J. Chem. 1988, 12,
N 10, 797-809.

Cl_3^+

(OM-30931)

1988

Burdett J.R., Marsden C.J.,

ab initio

pacrem

New. J. Chem. 1988, 12,

110, 797-809.

Cl_3^+

(30535)

1988

Краснов Р. С.,
Филенченко Н. В.,

ОНИИТЭХИМ.

Зар. № 378-ХЛ-86,
Черкассы, 1988.

ст.н.

(обзор)

Cl_3^-

(DM. 31022)

1988

Novoa J. J., Alota F., et al.,

Empyknypa
U
enclosure.
J. Phys. Chem. 1988, 92,
N23, 6561-6566.

Structure and Stability
of the X_3^- Systems ($X=F$,
 $\text{Cl}, \text{Br}, \text{I}$) and Their Interaction

With Cations.

Cl_3^-

1989

$A_e, \gamma,$
mekanich.
cosmich.

112: 105143p The electronic structures of the XYZ⁻ trihalide anions; X, Y, Z = chlorine, bromine, iodine. Gutsev, G. L. (Inst. Khim. Fiz., USSR). *Zh. Strukt. Khim.* 1989, 30(5), 41-7 (Russ.). The electronic structures of the Cl_3^- , Br_3^- , I_3^- ; BiCl_2^- , BrI_2^- , PbCl_2^- , and BrH^- ions were calcd. by the $\Delta\mu$ -discrete variation method. The electron affinity (EA) of the trihalogens is close to the vertical EA and to the first ionization potential (IP) of their mononeg. ions. The IP's are similar, 3.3-3.8 eV.

(46)



C.A. 1990, 112, N 12

Cl_3^-

1989

5 Б1082. Электронная структура анионов тригалоидов XYZ^- ; X, Y, Z=Cl, Br, I / Гуцев Г. Л. // Ж. структур. химии.— 1989.— 30, № 5.— С. 41—47.— Рус.

Электронная структура анионов Cl_3^- , Br_3^- , I_3^- , BrCl_2^- , BrI_2^- , BrICl^- и BrII^- рассчитана дискретно-вариац. Х_α-методом. Согласно расчетам, адабатич. сродство к электрону (СЭ) молекул тригалогенидов близко к вертикальному СЭ и первому вертикальному Пт ионизации (ПИ) соотв. однозарядных анионов. Рассчитанные первые ПИ всех анионов довольно близки по величине и составляют 3,3—3,8 эВ. На этом основании тригалогениды отнесены к классу «слабых» супергалогенов. Библ. 33.

Резюме

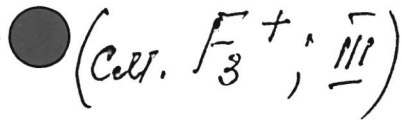
+6

☒

X. 1990, N5

Cl_2^+ OM 34371 1990
 Cl_3^- Li Yi, Wang Xuebao,
 et al.
picrem
структура
иерархии
состава

J. Am. Chem. Soc. 1990,
112 (10), 3922-6.



Cl_3^-

(OM 36436)

1991

Gutser B. L., Ziegler T.

Can. J. Chem. 1991, 69,
993-999.

The structure of the CCl_n^-
($n=1-4$) anions and electronic
affinities of the correspon-

ding neutrals.

Cl_3^+

1992

14 Б1268. Катион-радикалы в смесях Cl_3P и Me_2S . Исследование методами ЭПР и квантовой химии. Radical cations in mixtures of Cl_3P and Me_2S . A combined ESR and quantum chemical study / Aagaard Olav M., de Waal Bas F. M., Cabbolet Marcoen J. T. F., Janssen René A. J. // J. Phys. Chem.— 1992.— 96, № 2.— С. 614—623.— Англ.

Методом ЭПР зарегистрированы и идентифицированы радикалы, возникающие в ходе рентгеновского облучения при 77 К р-ров Cl_3P и Me_2S в CFCl_3 , CF_3CCl_3 , $\text{CF}_2\text{CCFCl}_2$ и CH_2Cl_2 . В случае разбавленных р-ров обнаружено образование исключительно катион-радикалов $\text{Cl}_3^{\bullet+}$ и $\text{Me}_2\text{S}^{\bullet+}$. Показано, что в случае $\text{Me}_2\text{S}^{\bullet+}$ в CFCl_3 имеет место суперсверхтонкое вз-вие с ядрами хлора и фтора молекул матрицы. Установлено, что при увеличении конц-ии (или т-ры) катион-радикалы легко реагируют с молекулами р-ренных Cl_3P или Me_2S с

III

8 (ij)

X. 1992, N 14



$(\text{CH}_3)_2\text{S}$

образованием катион-радикалов $\text{Cl}_3\text{P}^{\cdot+}$ — PCl_3^+ , $\text{Me}_2\text{S}^{\cdot+}$ — SMe_2^+ и $\text{Cl}_3\text{P}^{\cdot+}$ — SMe_2^+ с двухцентровой трехэлектронной связью $\sigma^2\sigma^*{}^1$, а в конц. замороженных р-рах образуется тример $\text{Cl}_3\text{P}(\text{SMe}_2)_2^{\cdot+}$, имеющий октаэдрич. конфигурацию с очень сильным сверхтонким вз-вием с ядром ^{31}P . Проведены обширные неэмпирич. расчеты ($\text{ХФ}/3\text{-21ГФ}^*$), и их результаты подтвердили выполненное отнесение спектров, а также дали новые сведения о молек. геометрии, электронной конфигурации и стабильности катион-радикалов. В. М. Промыслов



C_3

(M. 36910)

1992

Gutsev G. Z.

Do, fl.,
ciúrykm.,
meop.
pacrim

Zh. Fiz. Khim. 1992,

66 (11), 2998-3005.

● (Cer. F_3 ; III)

Cl₃-

Om - 36910

1992

ЭЛЕКТРОН
и
КОМПЕ.
СТРУКТУРА,
ДО, МЕОП.
РАЗДЕЛ

Дмитрий П.Н.,

дл. вы. химии, 1992,
66, № 11, 2998 - 3005

л.з

DM · 36910

1992

Джев Р.А.,

экспрот.

и
голосн.
структура,
ж, до
мног.расст

дл. вы. хими, 1992, бб,
N 11, 2998 - 3005

Cl₃

1992

116: 183589e Ab initio calculations on the ground and low-lying electronic states of the chlorine trimer radical: emission from the chlorine trimer. Wright, Timothy G.; Bell, Andrew J.; Frey, Jeremy G. (Dep. Chem., Southampton Univ., Southampton, UK SO9 5NH). *Chem. Phys. Lett.* 1992, 189(4-5), 297-302 (Eng). Broad band, low level emission is obsd. in the region 370-420 nm following the photolysis of Cl₂ in a flow system at a pressure of 400 torr in the presence of nitrogen buffer gas. It is suggested that the decay of an excited electronic state of the Cl₃ radical is responsible for this emission. To support this claim a series of ab initio calcns. on the Cl₃ radical were performed with 6-31G and 6-31 G* basis sets at the SCF and CI levels. The calcd. C_{2v} ground state agrees with previous calcns. but a lower min. with an asym. structure, probably a van der Waals state, was also found. Ab initio SCF calcns. on the ground state of Cl₃⁻ were also performed.

ab initio
paaren ocmth.
u Helzner alias
H. Helzner, D.R. Collier,
environ. phys. chem.,
C.A. 1992, 116, N 18

(H) (H) Cl₃⁻ (ab initio
paaren ocmth.
(OCMn.)

$\text{Cl}_3, \text{Cl}_3^-$

1993

Wright T.G., Lee E.P.F.
Mol. Phys. 1993, 79

ab initio
paerem

(5), 995-1009.

энергетика.
энергия.



(ee. F_3, F_3^- ; ii)

Cl_3^+

[OM · 38235]

1996

металл.
свтуката,
ред. метр.
авт. Nočn.,
конфам.
таксон.

Yun Li, Stephan Trle et al.,

Inorg. Chem., 1996, 35, N1,
100 - 109.

Electronic Structure
and Properties of Trihalogen

Cations X_3^+ and XY_2^+ ($X, Y =$
 $= F, Cl, Br, I$)

Cl_3

1996

11Б4371. Фотолиз изолированных в матрице комплексов $\text{HCl}-\text{Cl}_2$: спектры электронного поглощения и испускания, условно приписанные к Cl_3 . Photolysis of matrix-isolated $\text{HCl}-\text{Cl}_2$ complexes: Electronic absorption and emission spectra provisionally assigned to Cl_3 / Lawrence W. G., Fulgum R. M., Heaven M. C. // J. Phys. Chem.—1996.—100, № 48.—C. 18702—18707.—Англ. Место хранения ГПНТБ

спектры
электронные
и испуск.
и испуск.

X. 1997, N 11

Cl_3^+

7.39696

1998

сміського,
чадунської,
чеко

Q

⑦

Cl_2F^+



C. A. 1999, 130, N8

130: 100962m Gaseous Cl_3^+ and Cl_2F^+ cations. A joint mass spectrometric and theoretical study. Cacace, Fulvio; de Petris, Giulia; Pepi, Federico; Rosi, Marzio; Sgamellotti, Antonio (Dipartimento di Studi di Chimica e Tecnologia delle Sostanze Biologicamente Attive dell'Università "La Sapienza", 00185 Rome, Italy). *Rapid Commun. Mass Spectrom.* 1998, 12(23), 1911–1913 (Eng), John Wiley & Sons Ltd.. The Cl_3^+ cation was obtained by chlorine chem. ionization (Cl_2/Cl) via the exothermic reaction of Cl^+ transfer from $\text{Cl}_2\text{2}^+$ to chlorine or by the endothermic reaction of Cl_2^+ with chlorine, whereas Cl_2F^+ was obtained from the reaction of XeF^+ with chlorine. Both cations were structurally and energetically characterized by Fourier transform ion cyclotron resonance mass spectrometry and theor. calcns. at the B3LYP/6-311++G(3df,3pd)//CCSD(T)/cc-pVQZ levels of theory.

Cl. 3

05.35227

1998

128: 249072n Ab initio molecular-orbital study of the trichlorine radical, Cl₃. Kaledin, A. L.; Heaven, M. C.; Lawrence, W. G.; Cui, Q.; Stevens, J. E.; Morokuma, K. (Cherry L. Emerson Center for Scientific Computation and Department of Chemistry, Emory University, Atlanta, GA 30322 USA). *J. Chem. Phys.* 1998, 108(7), 2771–2783 (Eng), American Institute of Physics. We report a rigorous ab initio study of the ground and low-lying excited-state potential-energy surfaces (PESs) of the Cl₃ radical at CASSCF, CASPT2, and MRSDCI levels of theory. The ground state has two Cl...Cl₂ van der Waals complexes, XL

ab initio
packet

and X'B. The linear asym. min. (XL) is $^2\Pi$, with a Cl–Cl distance $r=3.90$ bohr, and a Cl–M (M: the Cl₂ center-of-mass) distance $R=8.70$ bohr. The bent asym. min. (X'B) is of $^2A'$ symmetry, with $r=3.90$ bohr, $R=6.85$ bohr, and the angle between \vec{r} and \vec{R} , $\gamma=68.4^\circ$. Spin-orbit CI predicts that the global min. is linear XL ($^2\Pi_{3/2}$) with a bond dissociation energy of $D_0(Cl_2(X)-Cl)$ of 280 cm^{-1} . Low-lying doublet excited states have only one strongly bound structure, a linear sym. $\bar{A}L$ ($1 ^2\Pi_g$) state with a bond distance of 4.67 bohr. This state is bound by -4300 cm^{-1} with respect to the Cl₂($^3\Pi_u$)+Cl asymptote, and its min. lies about 8700 cm^{-1} above the XL van der Waals min. Transition dipole moment calcns. show that the $\bar{A}-\bar{X}$ transition is fully allowed. Two bound quartet min. were located. The most deeply bound was QD3h ($1 ^4A_1'$) with a D_{3h} equil. geometry ($r=5.00$ bohr) about $11,300\text{ cm}^{-1}$ above XL. The other state, QC2v ($1 ^4A_2$) had a C_{2v} equil. geometry ($r_1=4.83$ bohr and $\theta=101.7^\circ$) and an energy of about $13,500\text{ cm}^{-1}$ relative to XL. Although Cl₃(\bar{X}) is shown to be unstable, the present results support the notion that Cl₃ participates in Cl atom recombination processes. However, the energies and transition moments of the low-lying excited states are not consistent with electronic spectra that have been tentatively assigned to Cl₃.

CA 1998
128, No 20

$\text{Cl}_2 - \text{Cl}^-$

1998

(D₀)

Cl_3^-

74

A

$\text{Cl}_3^- (\text{Ac})$
 $\text{Br}_3^- (\text{Ac})$

C.A. 1998,

129: 281846z Gas-Phase Thermochemistry of Polyhalide Anions.
Nizzi, Katrina Emilia; Pommerening, Cynthia Ann; Sunderlin, Lee S.
(Department of Chemistry, Northern Illinois University, DeKalb, IL
60115 USA). *J. Phys. Chem. A* 1998, 102(39), 7674-7679 (Eng), Ameri-
can Chemical Society. A flowing afterglow-tandem mass spectrometer
has been used to det. 0 K bond strengths in three hypervalent polyhalide
ions: $D(\text{Cl}_2-\text{Cl}^-) = 99 \pm 5 \text{ kJ/mol}$, $D(\text{Br}_2-\text{Br}^-) = 127 \pm 7 \text{ kJ/mol}$, and
 $D(\text{Br}_2-\text{Br}_3^-) = 40 \pm 7 \text{ kJ/mol}$. These bond strengths are close to the
previously measured values $D(\text{I}_2-\text{I}^-) = 126 \pm 6 \text{ kJ/mol}$ and $D(\text{I}_2-\text{I}_3^-) = 49 \pm 6 \text{ kJ/mol}$. In contrast, Cl_5^- and F_3^- are not formed at room
temp. in the flowing afterglow. Solvation energies for the trihalides
derived from this work and literature thermochem. are inversely cor-
related with the size of the ion, in reasonable agreement with the predic-
tions of the Born model. The electron affinities $EA(\text{Cl}_3^-) = 4.60 \pm 0.09$
eV and $EA(\text{Br}_3^-) = 4.55 \pm 0.10$ eV can also be derived. The gas-phase
bond strengths are more consistent with the three center-four electron
bond model than with the expanded octet model.



$\text{Br}_2 - \text{Br}^- (\text{D}_0)$
129, N 21 $\text{Br}_2 - \text{Br}_3^- (\text{D}_0)$

Cl_3^-

1998

Ogawa, Yasushi, et al.,

THEOCHEM 1998, 424(3)

emp-pa

u Canada

racem

(all: f_3^- ;

III

F: C13-

P: 3

131:108517 C13- electron photodetachment spectrum: measurement and assignment. Kaledin, Alexey L.; Heaven, Michael C.; Morokuma, Keiji; Neumark, Daniel M. (Cherry L. Emerson Center for Scientific Computing and Department of Chemistry, Emory University, Atlanta, GA 30322, USA). Chem Phys. Lett., 306(1,2), 48-52 (English) 1999 An electron photodetachment spectrum of C13- is reported for 193 nm (6.42 eV) excitation. The spectrum was assigned using high-level ab initio calcn. for the C13 radical and the C13- ion. A broad band centered around 1.25 eV (electron kinetic energy) was assigned to the C13-(X 1.SIGMA.g+) C13(X 2.PI.u) and C13(1 2.SIGMA.g+) transitions. Vertical photodetachment accesses the transition state region for the Cl exchange reaction: Cl+C12 C12+Cl. A narrow doublet band at 0.55 eV is assigned to the C13-(X 1.SIGMA.g+) C13(1 2.PI.g) transition, split by spin-orbit interaction. mo chlorine ion electron photodetachment

C.A. 1999, 121

1999

1999

F: Cl3-

P: 3

131:108517 Cl3- electron photodetachment spectrum: measurement and assignment. Kaledin,

Alexey L.; Heaven, Michael C.; Morokuma, Keiji; Neumark, Daniel M. (Cherry L. Emerson Center for Scientific Computing and Department of Chemistry, Emory University, Atlanta, GA 30322, USA). Chem Phys. Lett., 306(1,2), 48-52 (English) 1999 An electron photodetachment spectrum of Cl3- is reported for 193 nm (6.42 eV) excitation. The spectrum was assigned using high-level ab init calcn. for the Cl3 radical and the Cl3- ion. A broad band centered around 1.25 eV (electron kinetic energy) was assigned to the Cl3-(X 1.SIGMA.g+) Cl3(X 2.PI.u) and Cl3(1 2.SIGMA.g+) transitions. Vertical photodetachment accesses the transition state region for the Cl exchange reaction: Cl+Cl2 Cl2+Cl. A narrow doublet band at 0.55 eV is assigned to the Cl3-(X 1.SIGMA.g+) Cl3(1 2.PI.g) transition, split by spin-orbit interaction.

C.A. 7999, 131